

Пучково-плазменный разряд при распространении длинноимпульсного релятивистского электронного пучка в разреженном газе среднего давления

© М.В. Гладышев, М.Г. Никулин

Московский радиотехнический институт РАН,
113519 Москва, Россия

(Поступило в Редакцию 27 декабря 1995 г.)

Предложена теоретическая модель и проведено численное исследование эволюции пучково-плазменного разряда при распространении длинноимпульсного самосфокусированного релятивистского электронного пучка в разреженном газе среднего давления. Показано, что самостабилизация пучково-плазменного разряда из-за продольной неоднородности плотности разрядной плазмы дает возможность провести пучок через дрейфовую камеру с относительно небольшими суммарными потерями энергии, включающими ионизационные потери и потери энергии на возбуждение колебаний. В процессе диссоциативной рекомбинации электронов и ионов, нарабатываемой в разряде плазмы, выделяется тепло, идущее на нагрев газа. Рассмотренный коллективно-разрядный механизм нагрева газа для релятивистского пучка может быть более эффективным, чем классический механизм нагрева за счет ионизационных потерь пучка при парных столкновениях его электронов с частицами газа.

Введение

Многочисленные эксперименты (см., например, [1,2]) по транспортировке релятивистских электронных пучков (РЭП) в различных газах в режиме самосфокусировки на расстоянии L порядка нескольких бетатронных длин, т. е. $L \sim 1$ м для типичных параметров РЭП, показывают, что наиболее эффективно транспортировку удастся осуществить в области средних давлений $p \sim 1$ Тор. При более низких давлениях распространению РЭП препятствует пучково-плазменная неустойчивость, приводящая к потере энергии и рассеянию пучка, при более высоких — резистивная шланговая неустойчивость, вызывающая отклонение пучка от оси, а в худшем случае — выброс пучка на стенки дрейфовой камеры.

Важной особенностью распространения РЭП в этих условиях, как показано в численном эксперименте [3] на модели, развитой для короткоимпульсного пучка (с длительностью $\tau \sim 100$ нс), является самостабилизация пучково-плазменной неустойчивости на таком уровне, при котором она не срывает транспортировку, но в то же время поддерживает пучково-плазменный разряд [4]. Последнее обстоятельство открывает некоторые дополнительные возможности. В частности, при средних давлениях пучково-плазменный разряд может быть эффективно использован для осуществления плазмохимических реакций [5], а в случае длинноимпульсных и прерывистых пучков может, кроме того, служить источником нагрева газа, превышающим по мощности тепловыделение за счет прямых ионизационных потерь РЭП.

Настоящая работа посвящена изучению коллективных и разрядных процессов при взаимодействии длинноимпульсного РЭП со слабоионизованным газом среднего давления. В частности, исследуются эволюция пучково-плазменного разряда микросекундных временных интер-

валах и нагрев газа в данном процессе за счет тепла, выделяемого при диссоциативной рекомбинации электронов и ионов плазмы. Ввиду того что разряд, как показано в [3], уже к концу фронта короткого импульса переходит к квазистационарному состоянию, медленно эволюционирующее со временем, в качестве прототипа мы используем предложенную в [3] модель, дополнив ее уравнением теплопроводности для газа и исключив уравнения, описывающие индукционное возбуждение обратного плазменного тока на фронте РЭП и его диссипацию.

Постановка задачи и метод решения

Взаимодействие релятивистского электронного пучка с током $I \gtrsim 50$ А, энергией $W \sim 1$ МэВ, радиусом $a \sim 1$ см, длительностью $\tau \sim 100$ мкс со слабоионизованным газом (воздухом) с начальным давлением $p_0 \sim 1$ Тор в дрейфовой камере длиной $L \simeq 1$ м без внешнего магнитного поля будем исследовать на модели, в которой пучок описывается крупными частицами, высокочастотное электрическое поле плазменных колебаний находится из одномерного уравнения Пуассона с использованием метода медленно меняющихся амплитуд, кинетика разряда описывается балансными уравнениями для плотности и средней энергии электронов плазмы. Обратным плазменным током пренебрегаем ввиду достаточного плавного нарастания тока длинноимпульсных пучках.

Воспользуемся представленным выше подходом, для этого предположим, что пучок, плотность которого мала по сравнению с плотностью плазмы, является релятивистским, моноэнергетическим и удерживается в равновесии собственным магнитным полем. Считается, что тепловое движение в плазме и собственное магнитное поле пучка не влияют на дисперсию возбуждаемых пуч-

ком волн, а радиальная ограниченность пучка и плазмы не сказывается на инкременте неустойчивости. Кроме того, принимается, что столкновения плазменных электронов с тяжелыми частицами обеспечивают подавление поперечных возмущений, не препятствуя в то же время развитию продольных колебаний. Согласно [6], для этого должны выполняться неравенства

$$\frac{6T_e}{mc^2} \ll \left(\frac{\nu_e}{\omega_e}\right)^{3/2} \frac{\omega_e a}{c} \left(\frac{I_0 \gamma^3}{I}\right)^{1/2}, \quad (1)$$

$$\frac{I}{I_0}, \quad \left(\frac{I}{I_0}\right)^2 \ll \left(\frac{\omega_2 a}{c}\right)^2 \ll \nu_e \tau, \quad (2)$$

$$\left(\frac{c}{\omega_e}\right)^2 \ll \frac{\nu_e}{\omega_e} \ll 1, \quad (3)$$

где ν_e — частота столкновений электронов плазмы с тяжелыми частицами, $\omega_e = (4\pi n_e e^2 / m)^{1/2}$ — ленгмюровская частота плазменных электронов, $I_0 = mc^3 / e$, $-e$ и m — заряд и масса покоя электрона, c — скорость света в вакууме.

Предполагается, что на периоде и длине волны плазменных колебаний все усредненные по этим масштабам характеристики процесса меняются незначительно.

Для описания ионизации газа электронами плазмы мы пользуемся элементарной теорией разряда в относительно слабых сверхвысокочастотных (СВЧ) электрических полях, считая, что ионизация происходит за счет разогрева электронов в полях колебаний при сохранении максвелловской функции распределения по скоростям. Амплитуда СВЧ электрического поля E_0 должна быть при этом много меньше величины, при которой средняя энергия осцилляций плазменных электронов сравнивается с их тепловой энергией [7],

$$E_0 (\text{кВ/см}) \ll E_c = 3.7 \frac{\omega_e}{\nu_e} p(\text{Тор}). \quad (4)$$

В принятых предположениях система уравнений модели пучково-плазменного разряда имеет вид

$$\frac{\partial}{\partial z} \left[\frac{\partial^2}{\partial t^2} + \nu_e \frac{\partial}{\partial t} + \omega_e^2(z) \right] \frac{\partial \tilde{\psi}}{\partial z} = 4\pi e \left(\frac{\partial^2}{\partial t^2} + \nu_e \frac{\partial}{\partial t} \right) \tilde{n}_b, \quad (5)$$

$$\tilde{\psi} = \sum_{n=1}^N \left[a_n(z) \cos(k_n z - \omega_n t) + b_n(z) \sin(k_n z - \omega_n t) \right], \quad (6)$$

$$\tilde{n}_b = n_{b0} \sum_{i=1}^M \int_z^{z+\Delta z} \delta(z - \tilde{z}_i) dz, \quad (7)$$

$$\frac{d\tilde{z}_i}{dt} = \tilde{v}_{bi}, \quad (8)$$

$$(1 - \tilde{v}_{bi}^2 / c^2)^{-3/2} \frac{d\tilde{v}_{bi}}{dt} = \frac{e \partial \tilde{\psi}}{m \partial z}, \quad (9)$$

$$\frac{\partial n_e}{\partial t} = \nu_{ib} n_b + \nu_{ie} n_e - \alpha_{dr} n_e^2 + \frac{\partial}{\partial z} \left(D_a \frac{\partial n_e}{\partial z} \right) - D_a \frac{n_e}{\Lambda_e^2}, \quad (10)$$

$$\begin{aligned} \frac{\partial \varepsilon_e}{\partial t} = & \left(\frac{E_0^2}{8\pi n_e} - \delta \varepsilon_e \right) \nu_e - (\varepsilon_e + \varepsilon_i) \nu_{ie} \\ & + (\varepsilon_\delta - \varepsilon_e) \frac{n_b}{n_e} \nu_{ib} + \frac{1}{n_e} \frac{\partial}{\partial z} \left(\varkappa_e \frac{\partial \varepsilon_e}{\partial z} \right), \end{aligned} \quad (11)$$

$$E_0^2 = \sum_{n=1}^N \left[\frac{1}{2} k_n^2 (a_n^2 + b_n^2) + k_n \left(\frac{\partial a_n}{\partial z} b_n - a_n \frac{\partial b_n}{\partial z} \right) \right], \quad (12)$$

$$\delta(\varepsilon_e) = \begin{cases} 10^{-3}, & \varepsilon_e(\text{эВ}) < 1.2, \\ 7 \cdot 10^{-4} \varepsilon_e^2(\text{эВ}), & 1.2 < \varepsilon_e(\text{эВ}) < 23.4, \\ 0.4, & 23.4 < \varepsilon_e(\text{эВ}), \end{cases} \quad (13)$$

$$\nu_e (c^{-1}) = 2.9 \cdot 10^{15} \rho (\text{г/см}^3), \quad (14)$$

$$\nu_{ib} (c^{-1}) = 1.0 \cdot 10^{15} (v_b / c) \rho (\text{г/см}^3), \quad (15)$$

$$\nu_{ie} (c^{-1}) = 1.5 \cdot 10^{13} \rho (\text{г/см}^3) \frac{\varepsilon_e^{1/2}(\text{эВ}) [5.6 + 0.6 \varepsilon_e(\text{эВ})]}{\exp[18.75 / \varepsilon_e(\text{эВ})]}, \quad (16)$$

$$D_a (\text{см}^2 / \text{с}) = 3.5 \cdot 10^{-2} \varepsilon_e(\text{эВ}) / T_g^{1/2} (\text{К}) \rho (\text{г/см}^3), \quad (17)$$

$$\varkappa_e (\text{эВ/см} \cdot \text{с}) = 5.9 \cdot 10^{15} n_e (\text{см}^{-3}) \varepsilon_e(\text{эВ}) / \nu_e (c^{-1}). \quad (18)$$

Здесь тильдой отмечены величины, осциллирующие на частоте волны ω_n , в отличие от остальных величин, усредненных по быстрым осцилляциям; $k_n = \omega_n / v_b$; M — число крупных частиц пучка в системе; N — число волн, z_i — координата i -й частицы; $n_{b0} = n_b(0, t)$ — плотность пучка на входе системы; a_n, b_n — медленно меняющиеся по z амплитуды потенциала $\tilde{\psi}$; ν_{ib} — частота ударной ионизации воздуха пучком; ν_{ie} — усредненная по максвелловскому распределению частота ионизации воздуха плазменными электронами [8]; $\varepsilon_e = (3/2) T_e$ — средняя энергия электронов плазмы; δ — доля энергии, теряемой электроном плазмы при столкновении с тяжелыми частицами газа [10]; $\varepsilon_\delta = 21.4$ эВ — средняя энергия δ -электронов, рождающихся при ионизирующем столкновении электрона РЭП с молекулой воздуха; $\varepsilon_i = 12.5$ эВ — средняя энергия ионизации воздуха; D_a — коэффициент амбиполярной диффузии плазмы; $\Lambda_e = a/2.4$ — диффузионная длина для плотности плазмы n_e [9, с. 159], \varkappa_e — коэффициент электронной теплопроводности [9, с. 218]. Как видно, коэффициенты (14)–(18) зависят от параметров газа и, следовательно, модель должна учитывать возможное в длинноимпульсном режиме изменение параметров газа в разряде.

Для описания нагрева газа используется уравнение теплопроводности, в котором источником является тепло, выделяющееся при диссоциативной рекомбинации электронов и ионов плазмы. С целью упрощения этой части задачи рассматриваются два предельных случая. В первом из них считается, что пучок занимает малую часть дрейфовой камеры ($a/b \ll 1$, b — радиус камеры). При этом можно принять, что нагрев газа в области, занятой пучком, происходит изобарически: вследствие малой теплопроводности газа объем горячей области примерно равен объему, занимаемому пучком, а так как этот объем мал по сравнению с объемом камеры (оценки

см. ниже), то давление газа остается постоянным. Во втором варианте считается, что пучок целиком заполняет камеру дрейфа ($a/b = 1$). Газ в этом случае греется изохорически, т.е. его плотность остается постоянной. Таким образом, уравнения, описывающие нагрев газа и замыкающие модель пучково-плазменного разряда в длинном импульсном режиме, имеют вид

$$\rho c_g \frac{\partial T_g}{\partial t} = 0.75 \cdot \alpha_{dr} n_e^2 (\varepsilon_i - \varepsilon_d) + \frac{\partial}{\partial z} \left(\lambda \frac{\partial T_g}{\partial z} \right) - \lambda \frac{T_g}{\Lambda_T^2}, \quad (19)$$

$$\rho (\text{г/см}^3) = 1.54 \cdot 10^{-6} p_0 (\text{Тор}) \begin{cases} 300/T_g (\text{К}), & a/b \ll 1, \\ 1, & a/b = 1, \end{cases} \quad (20)$$

$$\alpha_{dr} (\text{см}^3/\text{с}) = 1.0 \cdot 10^{-4} / \varepsilon_e^{1/3} (\text{эВ}) [9 + \varepsilon_e (\text{эВ})] T_g (\text{К}), \quad (21)$$

$$\lambda \left(\frac{\text{Вт}}{\text{К} \cdot \text{см}} \right) = 1.14 \cdot 10^{-5} T_g^{1/2} (\text{К}) \times \begin{cases} [1.25 + 7.5 \cdot 10^{-4} T_g (\text{К})], & 300 < T_g (\text{К}) < 10^3, \\ [2 + 2.5(10^{-3} T_g (\text{К}) - 1)^2], & 10^3 < T_g (\text{К}) < 2.5 \cdot 10^3, \\ [10.77 - 35(10^{-3} T_g (\text{К}) - 2.8)^2], & 2.5 \cdot 10^3 < T_g (\text{К}) < 3.2 \cdot 10^3. \end{cases} \quad (22)$$

Здесь удельная теплоемкость газа $c_g (\text{Дж/г} \cdot \text{К}) = 1.0$ при $a/b \ll 1$ и 0.71 при $a/b = 1$; α_{dr} — коэффициент диссоциативной рекомбинации, выражение для которого является аппроксимацией экспериментальной кривой из [9, с.139]; $\varepsilon_d = 9.76$ эВ — энергия диссоциации; λ — коэффициент теплопроводности газа [11]; $\Delta_T = a/2.4$ — длина температуропроводности для газа, аналогичная диффузионной длине Λ_e . Численный множитель в первом слагаемом правой части уравнения (19), характеризующий эффективность нагрева газа за счет диссоциативной рекомбинации, рассчитан по результатам работы [12].

Отметим, что для типичных параметров задачи ($\varepsilon_e = (3/2)T_e \simeq 3$ эВ, $T_g \simeq 1000$ К, $p_0 \simeq 1$ Тор) характерные времена амбиполярной диффузии электронов плазмы $\tau_e \sim \Delta_e^2/D_a$ и остывания газа $\tau_T \sim \rho c_g \Lambda_T^2/\lambda$ в изобарическом режиме ($a/b \ll 1$), согласно приведенным выше выражениям, при $a = 1$ см примерно равны 40 и 120 мкс соответственно, что сопоставимо с длительностью пучка $\tau = 50$ мкс. Следовательно, как и считалось выше, объем, занимаемый плазмой и нагретым газом, примерно равен объему, занимаемому пучком. С ростом температуры газа процессы переноса ускоряются, что, конечно, ограничивает применимость модели в этом режиме. Тем не менее принятое нами предельное упрощение газодинамической части задачи оставляет возможность раскрыть интересующий нас механизм передачи энергии от электронного пучка к газу, связанный с коллективными и разрядными процессами.

В предложенной выше модели длинноимпульсного пучково-плазменного разряда уравнения (5)–(9) описывают в одномерном приближении пучково-плазменное

взаимодействие в одномерном приближении пучково-плазменное взаимодействие в условиях пространственного развития одномерной диссипативной неустойчивости. Уравнение (10) моделирует наработку электронов за счет ударной ионизации газа пучком и тепловой ионизации электронами плазмы, убыль электронов за счет диссоциативной рекомбинации и амбиполярной диффузии. Уравнение (11) описывает нагрев электронов плазмы за счет джоулевой диссипации высокочастотных ленгмюровских полей, потерю энергии при столкновениях электронов с тяжелыми частицами газа, изменение энергии при ионизации газа пучком и электронами плазмы, перенос энергии в процессе электронной теплопроводности. Уравнение (19) описывает нагрев газа при диссоциативной рекомбинации электронов и ионов плазмы и его остывание за счет теплопроводности.

Сравнение двух первых слагаемых в правой части уравнения (10) показывает, что наработка плазмы в пучково-плазменном разряде в рассматриваемой ситуации при $T_e \gtrsim 2$ эВ и $n_e \gtrsim 10^3 n_b$ становится более интенсивной, чем прямая ионизация газа релятивистским электронным пучком. А так как основным источником тепловыделения для обоих каналов ионизации, согласно (19), является диссоциативная рекомбинация, пропорциональная n_e^2 , то коллективно-разрядный механизм нагрева газа при указанных условиях становится более эффективным, чем классический механизм нагрева за счет ионизационных потерь РЭП при парных столкновениях его электронов с частицами газа.

Представленная система уравнений обезразмеривалась и решалась численно на персональном компьютере. Сначала решались уравнения (5)–(9) при заданных параметрах плазмы. Расчет амплитуд a_n, b_n проводился по неявной схеме первого порядка. Уравнения движения электронов пучка решались методом Эйлера первого порядка с уточнением. Затем для полученного распределения СВЧ поля решались уравнения (10)–(12), (19) с коэффициентами (13)–(18), (20)–(22).

Интервал времени, через который пересчитывались амплитуды СВЧ поля, менялся от 0.6 нс (в начале фронта пучка) до 0.3 мкс (при выходе пучково-плазменного разряда на квазистационарный режим). Ввиду невозможности в принятой модели описать стартовые процессы, длящиеся примерно пролетное время L/v_b , предполагалось, что в начальный момент система однородно заполнена слабоионизованным газом с плотностью и температурой электронов соответственно $n_{e0} = 10^{10} \text{ см}^{-3}$ и $T_{e0} = (2/3)\varepsilon_e = 0.15$ эВ и пучком, плотность которого, начиная с момента $t = 0$, нарастает от $0.01n_b$ до максимальной величины n_b за время фронта $\tau_f \gg L/v_b$.

Плазменные колебания задавались на входе системы ($z = 0$) путем модуляции плотности электронов пучка на локальной плазменной частоте $\omega_e(0, t)$. Глубина модуляции выбиралась такой, чтобы она не оказывала заметного влияния на характеристики пучково-плазменного разряда.

Результаты расчетов

Расчеты проводились для пучка, газа и плазмы со следующими параметрами: плотность пучка $n_b = 10^{10} \text{ см}^{-3}$, радиус пучка $a = 1 \text{ см}$, энергия частиц $W = 0.3 \text{ МэВ}$, длительность фронта $\tau_f = 5 \text{ мкс}$, длительность импульса $\tau = 50 \text{ мкс}$, давление газа (воздуха) $p = 1 \text{ Тор}$, начальная температура газа $T_{g0} = 300 \text{ К}$, начальные плотность и температура плазмы соответственно $n_{e0} = 10^{11} \text{ см}^{-3}$ и $T_{e0} = 0.15 \text{ эВ}$, длина дрейфовой камеры $L = 1 \text{ м}$, радиус камеры $b \gg a$ для первого варианта, $b = a$ для второго.

Результаты расчетов представлены на рисунках в виде распределений по координате z для трех моментов времени t относительных потерь энергии пучка $\Delta W/W$ (рис. 1), амплитуды напряженности электрического поля E_0 (рис. 2), температуры T_e (рис. 3) и плотности n_e (рис. 4) электронной компоненты плазмы, температуры газа T_g (рис. 5).

Согласно расчетам, в обоих случаях уже на фронте импульса тока пучка ($t < \tau_f$) развивается диссипативная

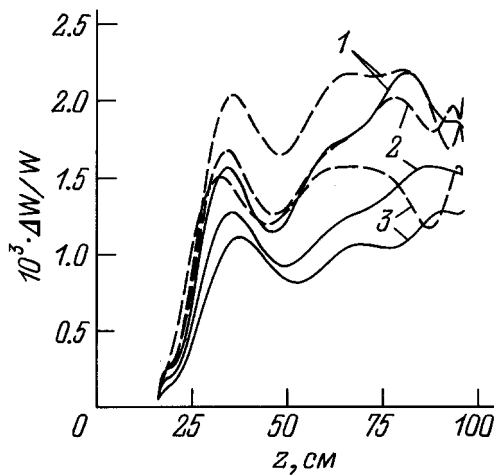


Рис. 1. Распределение относительных потерь энергии пучка $\Delta W/W$ по координате z . Сплошные линии — $b \gg a$, штриховые линии — $b = a$, моменты времени t , мкс: 1 — 5, 2 — 20, 3 — 50.

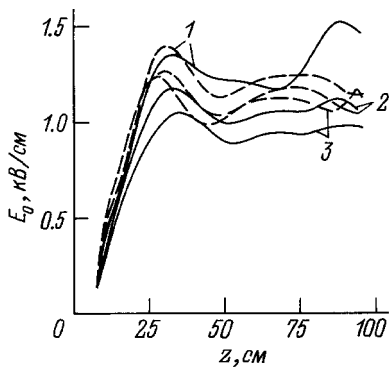


Рис. 2. Распределение амплитуды напряженности электрического поля E_0 по координате z . Параметры те же, что и на рис. 1.

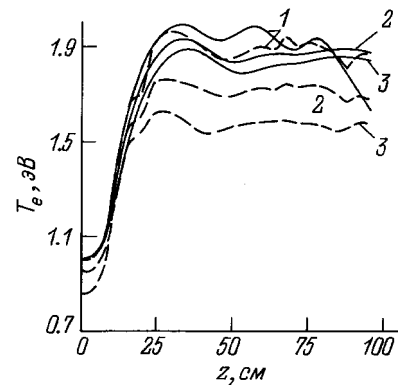


Рис. 3. Распределение температуры электронов плазмы T_e по координате z . Параметры те же, что и на рис. 1.

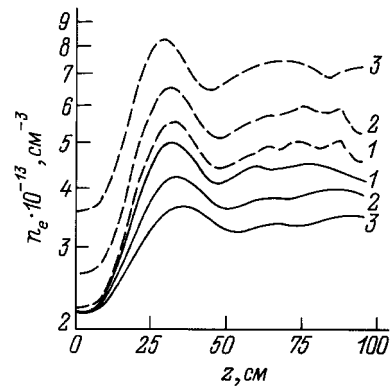


Рис. 4. Распределение плотности плазмы n_e по координате z . Параметры те же, что и на рис. 1.

пространственная двухпотоковая электрон-электронная неустойчивость на плазменной частоте, причем на длине системы пучково-плазменное взаимодействие выходит на нелинейную стадию. В области максимальных амплитуд неустойчивых колебаний, ближе к концу системы, происходят быстрый нагрев электронов плазмы и ионизация газа. Продольная неоднородность плотности образованной плазмы в соответствии с результатами работы [13] переводит неустойчивость в нерезонансный режим, в котором пучок на длине системы теряет менее 1% своей энергии. Пучково-плазменный разряд переходит в квазистационарное состояние, медленно эволюционирующее со временем и характеризующееся резким ростом потерь энергии пучка, амплитуды электрического поля, температуры и плотности электронной компоненты плазмы на первой трети длины системы, где происходит раскачка неустойчивости до нелинейного уровня, и слабо неоднородным распределением перечисленных величин на оставшемся пути пучка в камере дрейфа (рис. 1–4, кривые 1). Температура газа к концу фронта пучка заметно подрастает только во втором варианте ($b = a$) (рис. 5, кривая 1), в котором теплоемкость газа меньше, чем в первом.

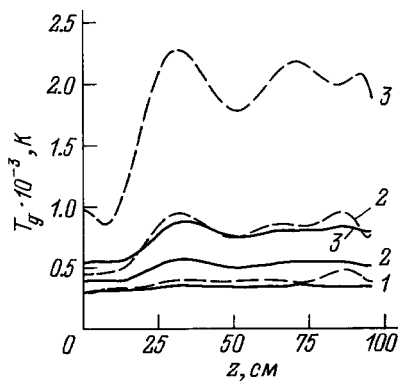


Рис. 5. Распределение температуры газа T_g по координате z . Параметры те же, что и на рис. 1.

С течением времени ($t > \tau_f$) благодаря выделению тепла при диссоциативной рекомбинации электронов и ионов плазмы происходит существенное повышение температуры газа T_g (рис. 5, кривые 2, 3). При этом в первом варианте ($b \gg a$) в условиях постоянного давления p и убывающей плотности газа ρ падает частота столкновений ν_e (20) электронов плазмы с нейтрами, а вместе с ней джоулевы потери СВЧ поля в плазме. Как следствие, снижаются температура электронов T_e (рис. 3, сплошные кривые 2, 3) и частота лавинной ионизации плазмы ν_{ie} (16). В результате заметно падает плотность плазмы n_e (рис. 4, сплошные кривые 2, 3).

Во втором варианте с течением времени в условиях постоянной плотности газа ρ увеличение температуры T_g приводит в первую очередь к уменьшению коэффициента диссоциативной рекомбинации α_{dr} (21), в результате чего сильно растет плотность плазмы n_e (рис. 4, штриховые кривые 2, 3) и заметно снижается ее температура T_e (рис. 3, штриховые кривые 2, 3). А так как интенсивность нагрева газа, согласно (19), пропорциональна n_e^2 , то температура газа к концу импульса пучка получается значительно выше, чем в первом варианте, и достигает значения $T_g = 2.3 \cdot 10^3$ К (рис. 5, штриховая кривая 3). Более интенсивному нагреву газа во втором варианте соответствует рост потерь энергии пучка и уровня полей в плазме в среднем по длине области пучково-плазменного взаимодействия (рис. 1, 2, штриховые кривые).

Расчеты других вариантов, близких по параметрам к представленным выше, в которых на длине взаимодействия пучково-плазменная неустойчивость успевает выйти на нелинейный уровень, дали качественно подобные результаты.

Заключение

Таким образом, результаты расчетов на развитой в работе модели пучково-плазменного разряда в слабоионизованном газе среднего давления в длинноимпульсном режиме позволяют представить следующую картину процесса. На фронте РЭП развивается одномерная простран-

ственная диссипативная пучково-плазменная неустойчивость, выходящая на длине системы на нелинейную стадию, но не приводящая к рассеянию и дефокусировке РЭП. В области максимальных амплитуд, возбуждаемых пучком плазменных колебаний, расположенной ближе к выходному торцу системы, происходит сильный нагрев плазменных электронов, которые в результате этого начинают ионизовать газ. Неоднородность плотности нарабатываемой плазмы стабилизирует неустойчивость на уровне, при котором удастся провести пучок через дрейфовую камеру с относительно небольшими потерями энергии, но достаточном для поддержания разряда. В процессе диссоциативной рекомбинации электронов и ионов плазмы выделяется тепло, идущее на нагрев газа. Поскольку скорость наработки плазмы в пучково-плазменном разряде с некоторого момента (в исследованной ситуации при $T_e \gtrsim 2$ эВ и $n_e \gtrsim 10^3 n_b$) начинает превышать интенсивность ионизации газа релятивистскими электронами пучка, а выделяемое при диссоциативной рекомбинации тепло квадратично зависит от плотности плазмы n_e , то коллективно-разрядный механизм нагрева газа может быть значительно более эффективным, чем классический механизм нагрева за счет ионизационных потерь РЭП.

Авторы выражают благодарность А.Т.Кунавину, П.М.Токарю и А.В.Данилову за обсуждения и предоставленную возможность ознакомиться с результатами проводимых ими экспериментов, а также О.А.Гордееву за консультацию по вопросам кинетики плазмы.

Список литературы

- [1] Jordan S., Ben-Amar Baranga A., Benford G. et al. // Phys. Fluids. 1985. Vol. 28. N 2. P. 366–382.
- [2] Батенин В.М., Живописцев В.С., Иконников А.О. и др. // Физика плазмы. 1991. Т. 17. № 4. С. 434–444.
- [3] Гладышев М.В., Никулин М.Г., Сионов А.Б. // Физика плазмы. 1991. Т. 17. № 8. С. 938–944.
- [4] Харченко И.Ф., Файнберг Я.Б., Корнилов Е.А. и др. // ЖТФ. 1961. Т. 31. Вып. 7. С. 761–768.
- [5] Иванов А.А. // Физика плазмы. 1976. Т. 2. № 2. С. 277–284.
- [6] Байтин А.В., Никулин М.Г. // Физика плазмы. 1990. Т. 16. № 3. С. 358–362.
- [7] Борисов Н.Д., Гуревич А.В., Милих Г.М. Искусственная ионизированная область в атмосфере. М.: ИЗМИРАН СССР, 1986. 184 с.
- [8] Лунан Ю.А. // ЖТФ. 1976. Т. 46. Вып. 12. С. 2321–2326.
- [9] Райзер Ю.П. Физика газового разряда. М.: Наука, 1987. 592 с.
- [10] Yee J.H., Alvarez R.A., Mayhall D.J. et al. // Phys. Fluids. 1986. Vol. 29. N 7. P. 1238–1244.
- [11] Пэн Цзай-чен, Пиндрох А.Л. // Вопросы ракетной техники и космонавтики. 1962. № 12. С. 3–26.
- [12] Коновалов В.П., Сон Э.Е. // Химия плазмы. 1987. № 14. С. 194–227.
- [13] Байтин А.В., Никулин М.Г., Сионов А.Б. // Физика плазмы. 1990. Т. 16. № 3. С. 363–369.